

# Modelo de Refinamento em Paralelo para Malhas de Elementos Finitos

Abner Franco Hermsdolf    José Jeronimo Camata

Departamento de Ciências da Computação  
Universidade Federal de Juiz de Fora (UFJF)

7 de novembro de 2025

# Sumário

Introdução

Metodologia

Resultados

Conclusões

# Contexto

## Refinamento de Malhas

- ▶ Técnica fundamental para aumentar a precisão de simulações numéricas
- ▶ Permite representar o domínio com maior resolução espacial
- ▶ Essencial em simulações de elementos finitos de larga escala

## Refinamento Adaptativo (AMR)

- ▶ Regiões específicas
- ▶ Baseado em critérios
- ▶ Mais complexo

## Refinamento Uniforme (UMR)

- ▶ Toda a malha
- ▶ Subdivisão homogênea
- ▶ **Foco deste trabalho**

# Motivação

## Desafios do Refinamento Paralelo

- ▶ Consistência da malha distribuída
- ▶ Sincronização de nós nas interfaces entre partições
- ▶ Renumeração global eficiente
- ▶ Manutenção do balanceamento de carga

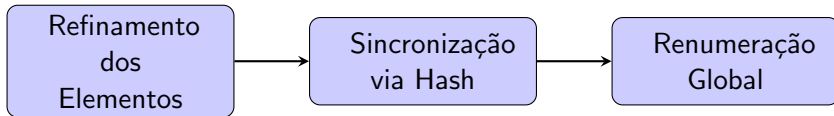
## Proposta

Modelo paralelo de refinamento uniforme baseado em **tabelas hash** para garantir consistência global e balanceamento de carga

# Objetivos

1. Desenvolver um modelo de refinamento uniforme em paralelo
2. Garantir a consistência global da malha distribuída
3. Sincronizar nós criados nas interfaces entre partições
4. Preservar o balanceamento de carga durante o refinamento
5. Validar em malhas de grande escala (milhões de elementos)

# Metodologia - Visão Geral



## Ferramentas Utilizadas

- ▶ **METIS**: Distribuição inicial dos elementos
- ▶ **MPI**: Comunicação entre processos
- ▶ **Função Hash**: Identificação única de nós

# Refinamento dos Elementos

## Processo

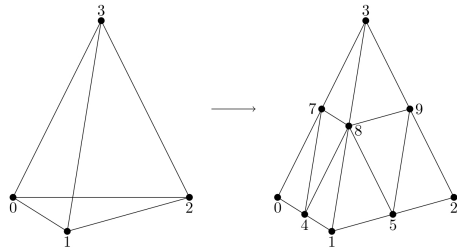
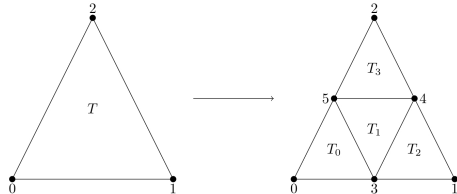
- ▶ Subdivisão das arestas
- ▶ Criação de nós intermediários
- ▶ Geração de elementos filhos
- ▶ Preservação das propriedades geométricas

## Triângulo

1 elemento  $\rightarrow$  4 elementos

## Tetraedro

1 elemento  $\rightarrow$  8 elementos



# Sincronização via Função Hash

## Desafio

Nós compartilhados entre partições devem ser criados de forma consistente

## Solução

- ▶ Cada novo nó é identificado por uma **chave única**
- ▶ Chave calculada a partir da **numeração global** dos nós que definem a aresta/face
- ▶ Função hash eficiente (Jenkins, 2006)
- ▶ Processos diferentes geram a mesma chave para a mesma aresta

## Regra de Propriedade

O proprietário do nó na interface é o processo de **maior rank**

# Processadores que compartilha o Nó

## Processo

1. Processo  $P_3$  refina aresta e cria nó  $n$

$$h_{key} = \text{hash}(A^{68}); \quad H_{sn}(h_{key}) \leftarrow n$$

2. Identificar processos que compartilham o nó:

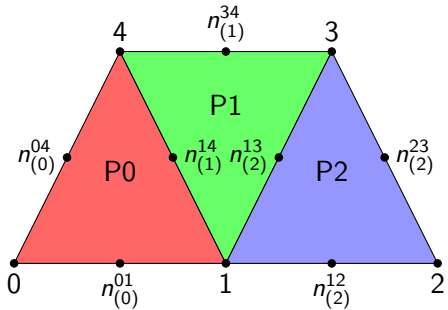
$$\begin{aligned}ppn(6) &= \{2, 3\}; \quad ppn(8) = \{0, 1, 2, 3\} \\ppn(n) &= ppn(6) \cap ppn(8) = \{2, 3\}\end{aligned}$$

3. Processo  $P_2$  refina a mesma aresta: consulta a tabela hash
4. Evita duplicação de nós

# Renumeração Global dos Nós

## Procedimento

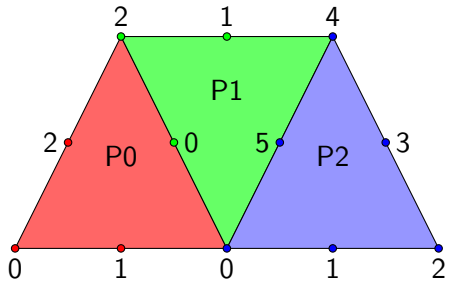
1. Cada processo numera localmente seus nós internos
2. Soma prefixada paralela (MPI\_Scan)
  - ▶ Acumula total de nós de processos de menor rank
3. Atualização da numeração local com offset global
4. Comunicação de índices nas interfaces



# Renumeração Global dos Nós

## Procedimento

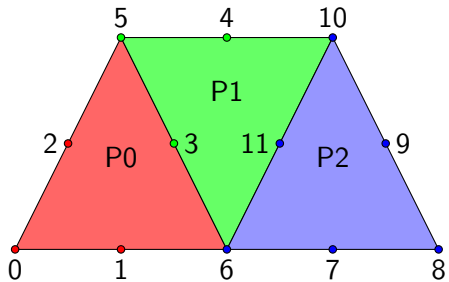
1. Cada processo numera localmente seus nós internos
2. Soma prefixada paralela (MPI\_Scan)
  - ▶ Acumula total de nós de processos de menor rank
3. Atualização da numeração local com offset global
4. Comunicação de índices nas interfaces



# Renumeração Global dos Nós

## Procedimento

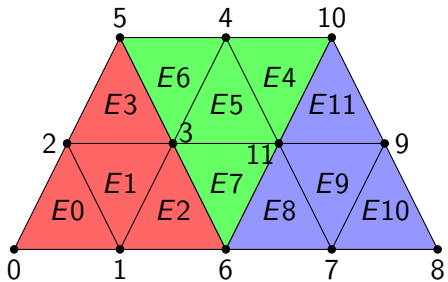
1. Cada processo numera localmente seus nós internos
2. Soma prefixada paralela (MPI\_Scan)
  - ▶ Acumula total de nós de processos de menor rank
3. Atualização da numeração local com offset global
4. Comunicação de índices nas interfaces



# Renumeração Global dos Nós

## Procedimento

1. Cada processo numera localmente seus nós internos
2. Soma prefixada paralela (MPI\_Scan)
  - ▶ Acumula total de nós de processos de menor rank
3. Atualização da numeração local com offset global
4. Comunicação de índices nas interfaces



# Configuração Experimental

## Infraestrutura

### Cluster LIMC/PPGMC - UFJF

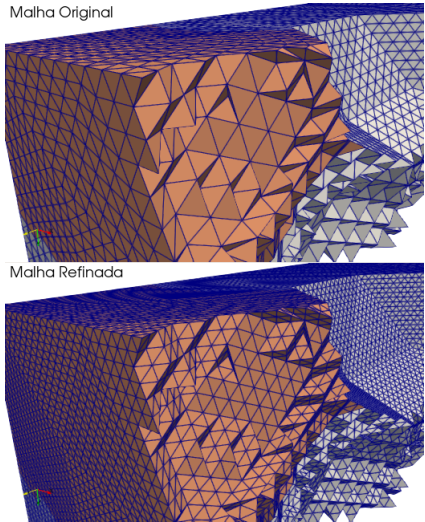
- ▶ 4 nós computacionais
- ▶ Processadores: Intel Xeon E5620 @ 2.40GHz
- ▶ 16 GB RAM por nó
- ▶ 4 núcleos por nó (16 núcleos totais)
- ▶ Frequency boost: 1600 MHz - 2401 MHz

## Malha de Teste

- ▶ **Inicial:** 660.992 tetraedros
- ▶ **Após refinamento:** 5.287.936 tetraedros  
(8 × maior)
- ▶ Distribuída em 16 núcleos

Malha Original

Malha Refinada



# Análise de Desempenho

Tabela: Tempo de Processamento e *Speedup*

Processos	CPU Time (ms)	<i>speedup</i>
2	69196,5	1,00
4	26638,5	2,60
8	11654,0	5.90
16	4816,3	14.3

**Obs:** O valores para um processo não foram considerados pois é uma versão não otimizada (uso desnecessário da hash introduzindo sobrecusto e piora a localidade de memória). Uma versão serial otimizada precisa ser implementada.

# Análise de Desempenho

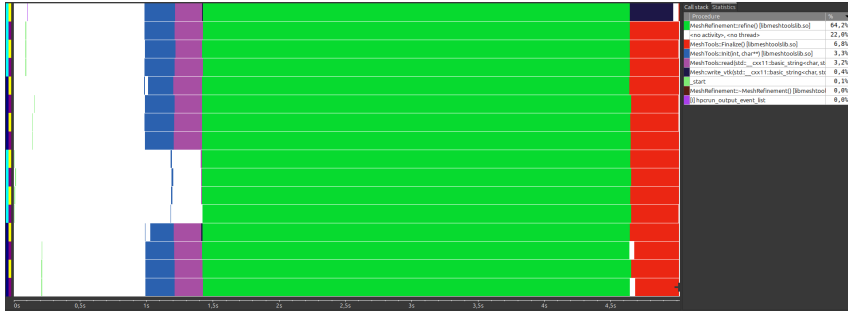


Figura: Traceview gerado pelo HPCToolkit. Bloco verde refere-se a rotina `refine()`

## Resultado Principal

**Balanceamento de carga** na função de refinamento, com variação mínima entre processos.

# Balanceamento de Carga

## Observações

- ▶ Carga de trabalho bem distribuída entre os 16 processos
- ▶ Variação mínima entre processos mais e menos carregados
- ▶ Distribuição inicial (METIS) preservada após refinamento
- ▶ Sincronização via hash não compromete o balanceamento

# Conclusões

## Contribuições

- ▶ Modelo paralelo de refinamento uniforme de malhas FEM
- ▶ Uso de tabelas hash para sincronização de nós de interface
- ▶ Garantia de consistência global da malha distribuída
- ▶ Preservação do balanceamento de carga

## Observações

- ▶ Testado em malha com 5+ milhões de elementos
- ▶ 16 núcleos em arquitetura distribuída.
- ▶ Balanceamento confirmado por HPCToolkit.

# Trabalhos Futuros

1. Avaliar o desempenho em arquiteturas com **maior número de núcleos**
2. Integrar o modelo a códigos de:
  - ▶ Dinâmica de fluidos computacional (CFD)
  - ▶ Simulações de elementos finitos
3. Estender para **refinamento adaptativo**
4. Estudos de escalabilidade forte e fraca
5. Aplicações em simulações científicas e de engenharia

# Agradecimentos

Agradecimentos à:

- ▶ FAPEMIG (APQ-02513-22)
- ▶ FINEP (SOS Equipamentos 2021 AV02 0062/22)
- ▶ UFJF

**Perguntas?**

[abner.franco@estudante.ufjf.br](mailto:abner.franco@estudante.ufjf.br)